

II-30 湾水振動における湾口水深の急変効果について（その2）

徳島大学工学部

正員 ○越智 茂

徳島大学工学部

正員 三井 宏

徳島大学工業短期大学部

正員 村上仁士

1. えがき： 湾水の共振特性は、湾口部の境界条件によって規定されることから、前報では湾口部で水深が急変するような1次元長方形港湾を用い、基礎的に湾水振動に及ぼす水深変化の影響について調べた。しかし、実験範囲が狭く、たことより理論解析に若干の問題点があるため、必ずしも満足する結果が得られなかった。本報では、先の理論解析の欠点を是正した解を示すとともに新たに実験を行い、湾口部前面に斜面を設置して水深が徐々に変化する場合の実験結果とも合せて、湾口部で水深変化するときの湾水の共振特性について述べる。

2. 理論解析： 図-1のような湾口部と水深が急変する港湾モデルにおいて、防波堤による波の透過・反射特性と水深変化の影響を別個に取り扱う。すなわち、著者らの提案した湾の内外で等水深の場合に波のエネルギー遮蔽を導入して得られた理論と一樣幅の水路で水深のみが変化する場合に透過率および反射率を求めた理論とを用い、それぞれの波を複素表示することによって両者を重ね合わせ、理論解を説明した。ここでは、その結果のみを示す。まず、湾奥の波高増幅率R（入射波高の2倍に対する湾奥の波高）は、次式で表わされる。

$$R = \frac{r(1+p)A_1}{2\sqrt{1+(B_2 r^2 p)^2 - 2B_2 r^2 p \cos(B_2 + 2\hat{p})}} \quad (1)$$

A_1 は急縮断面の透過率、 B_2 および \hat{B}_2 は急縮断面の反射率、位相差 c 、 $\hat{p} = -2\pi l/L_2$ (2) である。 r は波高減衰率、 p は湾奥の反射率で長波の場合にはそれぞれ1となる。

$$A_1 = \frac{\alpha_1 \alpha_2}{\sqrt{1+(\beta_1 \beta_2)^2 + 2\beta_1 \beta_2 \cos \beta_1}} \quad (3)$$

$$B_2 = \sqrt{\beta_2 + r^2 + 2\beta_2 r^2 \cos(\beta_2 - \hat{p})} \quad (4)$$

$$\hat{B}_2 = \tan^{-1} \frac{\beta_2 \sin \beta_2 + r \sin \hat{p}}{\beta_2 \cos \beta_2 + r \cos \hat{p}} \quad (5)$$

$$r = \frac{\alpha_1 \alpha_2 \beta_2}{\sqrt{1+(\beta_1 \beta_2)^2 + 2\beta_1 \beta_2 \cos \beta_1}} \quad (6)$$

$$\hat{p} = \tan^{-1} \frac{\sin(\hat{\alpha}_1 + \hat{\alpha}_2) + \beta_1 \beta_2 \sin(\hat{\alpha}_1 + \hat{\alpha}_2 - \hat{\beta}_1)}{\cos(\hat{\alpha}_1 + \hat{\alpha}_2) + \beta_1 \beta_2 \cos(\hat{\alpha}_1 + \hat{\alpha}_2 - \hat{\beta}_1)} \quad (7)$$

$\alpha_1, \beta_1, \alpha_2, \beta_2, \hat{\alpha}_1, \hat{\beta}_1, \hat{\alpha}_2$ および $\hat{\beta}_2$ は、防波堤による波の変形を表わす諸量で、文献(2)の定義と同じである。

$$\alpha_1 = (B/b)^{1/4} (c/b)^{1/4} \quad (8) \quad \beta_1 = \sqrt{1 - (b/B)\alpha_1^2 - \varepsilon_1} \quad (9)$$

$$\alpha_2 = (b/B)\alpha_1 \quad (10) \quad \beta_2 = \sqrt{1 - (b/B)\alpha_2^2 - \varepsilon_2} \quad (11)$$

$$\hat{\alpha}_1 = \cos^{-1} \frac{1 + (b/B)\{(b/B)\alpha_1^2 + \varepsilon_1\}}{2(b/B)\alpha_1} \quad (12)$$

$$\hat{\beta}_1 = \cos^{-1} \frac{2 - \{1 + (b/B)\{(b/B)\alpha_1^2 + \varepsilon_1\}\}}{2\sqrt{1 - (b/B)\alpha_1^2 - \varepsilon_1}} \quad (13)$$

$$\hat{\alpha}_2 = \cos^{-1} \frac{1 + (b/B)\{(b/B)\alpha_2^2 + \varepsilon_2\}}{2\alpha_2} \quad (14)$$

$$\hat{\beta}_2 = \cos^{-1} \frac{2 - \{1 + (b/B)\{(b/B)\alpha_2^2 + \varepsilon_2\}\}}{2\sqrt{1 - (b/B)\alpha_2^2 - \varepsilon_2}} \quad (15)$$

$\varepsilon_1, \varepsilon_2$ は急縮断面および急拡断面における波のエネルギー遮蔽率であり、 ε_1 は文獻(2)に示した実験値を用い、 ε_2 は解に与える影響が小さいので0と仮定する。

また、 α'_1 は水深が急変する場合の急縮断面の透過率、 β'_1 は急縮断面の反射率で、 $\alpha'_1 = (1 + 2\pi k_1 / \sinh 2\pi k_1) / 2$ 、 $\beta'_1 = (1 - 2\pi k_1 / \sinh 2\pi k_1) / 2$ である。

$$\alpha'_1 = 1 / (1 + n_2 L_2 / n_1 L_1) \quad (16)$$

$$\beta'_1 = (1 - n_2 L_2 / n_1 L_1) / (1 + n_2 L_2 / n_1 L_1) \quad (17)$$

符号1は外海、2は港内を示し、理論の適用範囲は $b/B \geq 0.2$ 、 $B/L_1 \leq 0.5$ である。

徳島大学工学部

正員 ○越智 茂

徳島大学工学部

正員 三井 宏

徳島大学工業短期大学部

正員 村上仁士

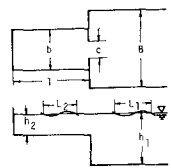


図-1 港湾モデル

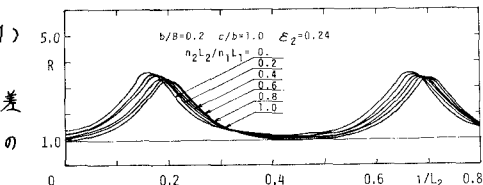


図-2 湾水の振動特性



図-3 RRの特性

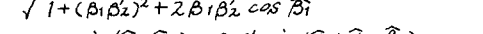


図-4 LR/L2の特性

図-2は、 $b/B=0.2$, $c/b=1.0$ としたときの載荷計算結果を示したものである。 $\frac{n_2 L_2}{n_1 L_1}$ は水深変化の度合を表すパラメータで、長波の場合には湾内水深と外海水深の比の平方根 $\sqrt{h_2/h_1}$ で近似され、値が小さくなると港湾の内と外との水深差が大きくなる。図からわかるように、港湾幅が比較的大きい場合には、水深変化による海水の振動特性の違いは顕著に現われず、湾内と外海との水深差があり、ても共振点がやや左上方に移動する程度である。図-3, 4は、共振点のみに注目して共振相対湾長 l_R/L_2 および共振波高増幅率 R の特性を示している。 l_R/L_2 は水深変化が急激になるにつれて、どの港湾幅の場合もほぼ一様に小さくなっている。これに対し、 R は港湾幅によつて変化の度合が異なり、 b/B が大きくなるほど水深変化の影響が強くなることがわかる。また、前報の実験結果では、水深変化の影響がそれほど顕著に現われなかつたが、実験範囲が $\frac{n_2 L_2}{n_1 L_1}=0.76 \sim 1$ であることからすれば当然であつたようと思われる。

3. 実験結果： 実験は、図-1の港湾モデルで $b/B=0.2$, $c/b=1.0$ として、港湾内水深 h_2 を10cm、外海水深 h_1 を10cmごとに60cmまで変化させた。入射波の周期は2secと1.6secの2種類、波高は5mmとした。図-5では、実験値を示しており、図中には理論曲線を併記している。図から、 $\frac{n_2 L_2}{n_1 L_1}$ が小さくなるにつれ、 l_R/L_2 はわずかに減少し、理論曲線と比較的よく適合しているようである。各の実験値は理論値よりも若干大きい値を示し、増加割合もやや大きい。このことから、本理論によつて共振湾長はほぼ予測できそうであるが、共振波高は危険側の値を示すものと思われる。

つづいて、湾口部前面に斜面を設置して水深が一様勾配で変化する場合の共振特性について述べる。実験は、 $h_1=30cm$, $h_2=10cm$ とし、斜面と底面との交角θを15°~90°まで4種類とし、勾配の最小値が $\tan\theta=1/3.7$ である。その他の諸元は前述と同じである。図-8, 9から、 l_R/L_2 は斜面勾配がゆるやかになるとつれてわずかに変動しているようであり、また、 R は基本モードおよび第2次モードとともにやや増加する傾向を示している。しかし、それそれの変動量自体は小さく、Micheの理論により反射率を算定すると完全反射となることから、斜面勾配が比較的大きい場合には、斜面の影響はあまり強くなるものと思われる。

4. まとめ： 海水振動に及ぼす湾口部の水深変化的影響は、港湾幅が広くなるほど顕著となり、港湾の内と外との水深差が大きくなるほど共振湾長は短く、増幅度は大きくなることがわかつた。また、湾口部前面の斜面の影響は、勾配が比較的大きい場合には、それほど顕著ではないようであった。最後に、実験および資料整理に御協力頂いた当時徳島大学学生の武川秀也君(前田道路)に謝意を表する。

〈参考文献〉

- 1) 越智・三井・村上：海水振動における湾口水深の急変効果について、第31回年次講演会概要集, pp.63~64, 1976.
- 2) 村上・越智：防波堤による波のエネルギー遮蔽および海水振動制御について、第22回海岸工学論文集, pp.271~277, 1975.
- 3) Ippen A.T: Estuary and Coastline Hydrodynamics, Chap. 1, pp. 71~77.

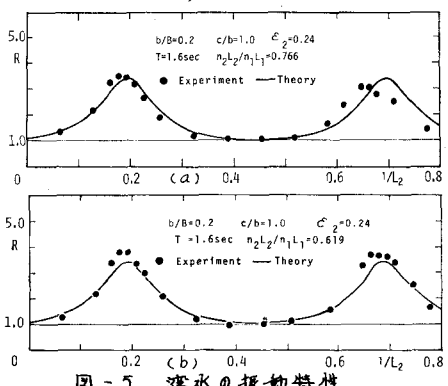


図-5 港水の振動特性

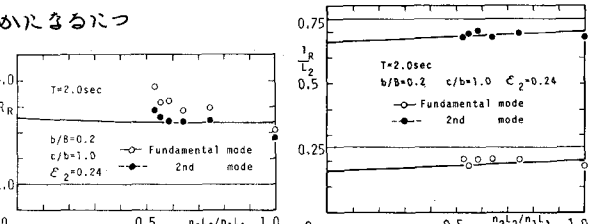


図-6 RRの特性

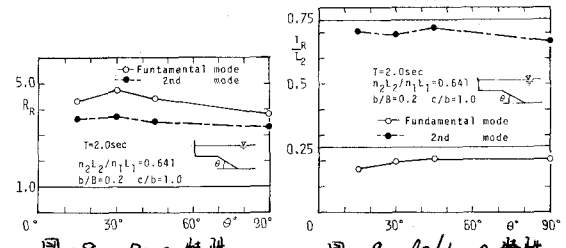


図-7 l_R/L_2 の特性

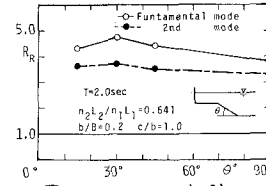


図-8 RRの特性

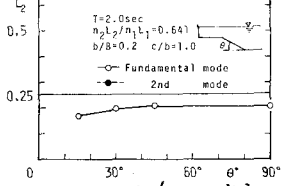


図-9 l_R/L_2 の特性